



ژئوشیمی و سازوکار تشکیل تورمالین گرهکی در گرانیت‌های (g₂) مشهد

زهرا طهماسبی*، فرهاد زال، احمد احمدی خلجی

گروه زمین‌شناسی، دانشکده علوم، دانشگاه لرستان

(دریافت مقاله: ۹۳/۴/۱۴، نسخه نهایی: ۹۳/۱۰/۱)

چکیده: تورمالین گرهکی در گرانیت‌های g₂ مشهد از دو بخش مرکز تیره و حاشیه سفید رنگ تشکیل شده است که خود به صورت پراکنده روی گرانیت‌های روشن قرار گرفته‌اند. بررسی‌های سنگ نگاری این بخش‌ها (مرکز، هاله سفید اطراف و گرانیت میزان) حاکی از انباشت تورمالین در مرکز، کوارتز، مسکوویت، میکروکلین و ارتوکلاز در هاله و کوارتز، پلاژیوکلاز، میکروکلین، موسکوویت و بیویت در گرانیت میزان است. بر اساس آنالیزهای نقطه‌ای و ژئوشیمیایی، ترکیب تورمالین‌های گرهکی سورلیت و نزدیک به دراویت است. وجود ویژگی‌هایی نظیر داشتن منطقه‌بندی نوسانی، افزایش Ca, Mg در حاشیه، دارا بودن $\text{Mg}/(\text{Fe}+\text{Mg})$ با میانگین (۵۶-۶۳) و الگوی REE سازگار با ذوب متاپلیت‌ها، همگی حاکی از خاستگاه دوگانه‌ی این تورمالین‌ها هستند یعنی سیستم ماقمایی در مراحل ابتدایی دارای تورمالین با ترکیب سورلیت بوده و سپس با حرکت رو به بالای ماقما و اختلاط آن با سیال ماقمای غنی از مواد فرار و بور حاصل از واکنش آن با متاپلیت‌های میزان، یک سیستم باز ایجاد شده است و ترکیب تورمالین به سمت دراویت گرایش یافته است.

واژه‌های کلیدی: تورمالین؛ دراویت؛ سورلیت؛ گرهک؛ لوکوگرانیت؛ مشهد.

و... در سنگ‌های گرانیتی و پگماتیت‌های وابسته به آن‌ها گزارش شده است [۱۲-۷]، اما گروهی از تورمالین‌ها که ساز و کار و ژئوشیمی آن‌ها موضوع اصلی این نوشتار است به صورت گرهک در گرانیت‌های g₂ مشهد رخنمون دارند. تورمالین‌های گرهکی به‌شکل بیضوی در اغلب سنگ‌های گرانیتی تکامل یافته در دوره‌ها و با خاستگاه و رخدادهای متفاوت یافت می‌شوند که معمولاً قطرشان بین ۱ تا ۱۰ سانتی‌متر است و دارای هسته‌ی حاوی تورمالین و کوارتز و حاشیه لوکورات حاوی کوارتز، میکروکلین و ارتوکلاز است. تا به حال تورمالین‌های گرهکی در دوره‌ها و مکان‌های مختلفی مانند گرانیت اسکرولپ استرالیا، پالئوپروتوزئیک [۱۳]، گرانیت نوع S کاپ شمال آفریقا، نئوپروتوزئیک [۱۴]، لوکوگرانیت با سن ۴۷۰ میلیون سال در ایران با اشکال مختلف مانند رگهای، منشوری [۱۵]

مقدمه

تورمالین با جذب عناصر تک ظرفیتی (Na, K)، دو ظرفیتی (Ca, Fe²⁺, Mg) و چهار ظرفیتی (Al³⁺, Fe³⁺, Cr, V, Ti) و حتی مواد فرار مانند H₂O, F, B باعث می‌شود تا شرایط سنگ‌زایی جالبی را طی مراحل سرد شدن ماقمایی از مراحل اولیه‌ی ماقمایی تا گرمایی و حتی گرمایی و اکتشافی در خود ثبت کند [۱-۴]. کانی‌های گروه تورمالین به عنوان فاز فرعی تا جانی در سیستم‌های گرانیتی حاضراند. خاستگاه آن‌ها می‌تواند با مراحل مختلف تکامل ماقمای گرانیتی مانند تبلور ماقمای اولیه، تبلور ماقمای تأخیری یا تبلور از سیالات گرمایی باشد [۵]. ترکیب تورمالین به شدت وابسته به ترکیب گرانیت میزان است [۶]. تاکنون تورمالین در مناطق متفاوت ایران با اشکال مختلف مانند رگهای، منشوری

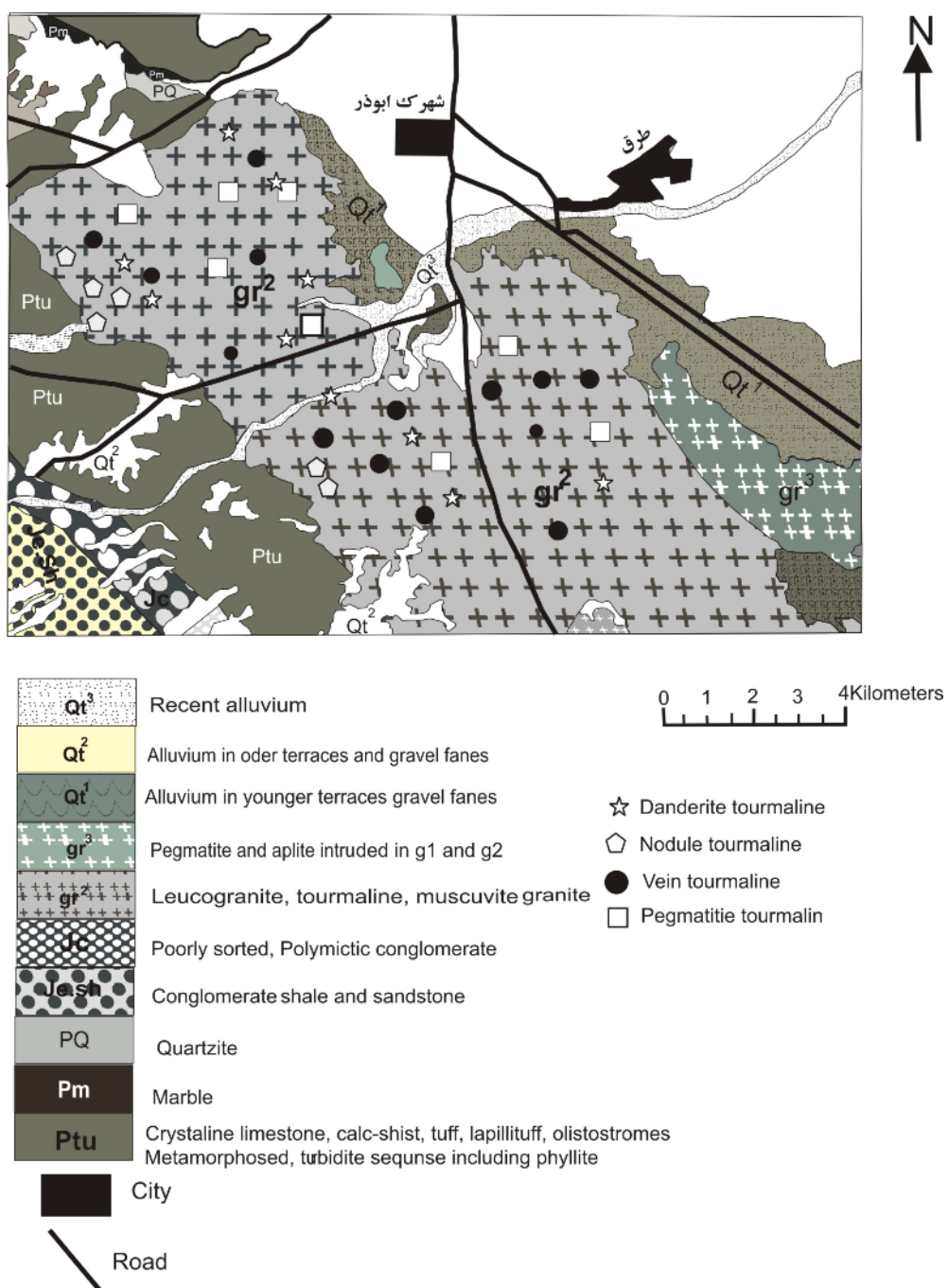
تشخیص داده شد. فاز نخست بیشتر گرانودیوریتی (g₁) است که در نواحی جنوب شرق گسترش دارد. فاز دوم لوکوگرانیت (g₂) بوده که در درون آن برونوپهایی از گرانودیوریت های فاز اول دیده می شوند. فاز سوم یا فاز پنوماتولیتی (g₃، شامل رگه های پigmاتیتی و آپلتیتی که مجموعه ای فازهای اول و دوم را قطع کرده است. شواهد زمین شناسی و گرانیت زایی اولیه در این داده است که فازهای دگرگونی و گرانیت زایی اولیه در این منطقه به فاز کوهزایی هرسی نین وابسته بود که دوباره در تریاس میانی نیز تحت تأثیر دگرگونی های سیمرین پیشین قرار گرفته است. به طوری که تعیین سن های آن ها به روش U-Pb، روی کانی زیرکن در لوکوگرانیت ها سن تریاس فوقانی را نشان می دهد [۲۸]. [۲۹] سن جایگزینی توده های گرانیتی مشهد را به روش پتاسیم - آرگن، ژوراسیک بالا - کرتاسه زیرین می دانند ولی با توجه به وجود قطعات بزرگ گرانیتی در قاعده سازند کشف رود (باژوسین) از یک طرف و با توجه به این که توده های فوژی مجموعه افیولیتی مشهد و رسوب های توربیدیاتی با سن تریاس را قطع می کند، سن تریاس فوقانی قابل قبول تر است. لوکوگرانیت های مشهد (g₂) از نوع S و طی برخورد صفحه ای ایران با توران نفوذ کرده اند [۳۲، ۳۱، ۳۰]. بر اساس داده های ایزوتوپی Rb-Sr و Sm-Nd، این لوکوگرانیت ها خاستگاه خارج از گوشه دارند و مagma اولیه از پوسته قاره ای با ترکیب بین متاپلیت و متاپسامیت ریشه گرفته است [۲۸]. گرمای لازم برای ذوب این متاپلیت ها و متاپسامیت ها از گوشه تأمین شده است. به عبارت دیگر، گوشه نقش یک ماشین گرمایی را داشته است [۲۸]. از طرف دیگر برخورد صفحه ای ایران و توران باعث کوتاه و ستبر شدگی پوسته شده است که در نتیجه این ستبر شدگی پوسته قاره ای، متاپلیت ها و متاپسامیت ها در شرایط دی هیدراسیون شروع به ذوب شدن کرده اند [۲۸]. همچنین [۳۰] عامل ایجاد آن ها را چنین بیان می کند که با فرورانش پوسته اقیانوسی پالئوتیس و وارد شدن محلول به درون پوسته قاره ای، ذوب بخشی سنگ های با ترکیب بازی رخ داده است و باعث تشکیل تونالیت و گرانودیوریت ها (g₁) شده است و در اثر برخورد قاره ها، دما و فشار منطقه ای برخورد افزایش یافته که در حد نهایی دگرگونی و سپس ذوب بخشی سنگ ها با خاستگاه رسوی، مسکویت - بیوتیت گرانیت ها (لوکوگرانیت ها) ایجاد شده اند.

لوکوگرانیت واریسک [۱۶-۱۸]، لوکوگرانیت با تولیت سیگول در شمال آمریکا، کرتاسه میانی [۱۹،۲۰] بررسی شده اند و بیشتر این گرهک ها در سنگ های لوکوکرات گزارش شده اند. تورمالین گرهکی به وسیله [۶ و ۲۱] به عنوان یک ویژگی معمول اما مبهم در سنگ های گرانیتی توضیح داده شد. آن ها همچنین به عدم اختلاط بین گرانیت و گدازه ای سرشار از بور و مواد فرار برای خاستگاه گرهک ها اشاره کرده اند و نشان دادند که تفاوت در ترکیب شیمیایی و سنگنگاری تورمالین به ویژگی های شیمیایی و فیزیکی سنگ میزبان گرانیتی وابسته است. فرضیات رایج در مورد چگونگی تشکیل نودول ها به شرح زیرند:

- ۱- گرهک ها از جانشینی پسا مagma ای (تأخری) یک شاره ای سرشار از B مراحل انتهایی تبلور مagma که باعث دگرانی گرانیت های از قبل متبلور شده می شود، به وجود می آیند. این شاره در شکستگی ها و شکاف های ریزی که در مرز بلورها وجود دارند، تزریق می شود [۲۲،۲۳].
- ۲- گرهک ها سرنشی های گرمایی - magma وابسته به عدم اختلاط، تفكیک و به دام افتادن شاره ای سرشار از بور هم زیست با سنگ میزبان گرانیتی را نشان می دهند [۵،۱۳،۲۴].
- ۳- جانشینی شاره ای سرشار از B در زینولیت های پلیتی [۲۵].
- ۴- تبلور از یک توده های گرانیتی سرشار از B [۲۶]. وجود عناصری مانند بور، فلور، آب و نیز وجود بافت پر تیتی و تورمالین های به شکل اسفلولیتی می توانند دلایلی بر وجود یک magma فروتافت و جایگیری توده در منطقه کم عمق پوسته باشد. در اینجا سعی شده است تا با استفاده از ژئوشیمی، سنگ نگاری و مشاهدات صحرایی، خاستگاه و چگونگی تشکیل تورمالین های گرهکی در گرانیت های g₂ مشهد مورد بررسی قرار گیرند.

زمین شناسی عمومی

منطقه های مورد بررسی در گستره ای ورقه ۱:۱۰۰۰۰۰ مشهد قرار گرفته است (شکل ۱) [۲۷]. این منطقه بخشی از بینالود است که مرز جنوبی این منطقه، گسل میامی یا گسل شاهرود و مرز شمال غربی آن گسل سمنان است. منطقه مورد بررسی محدود به عرض جغرافیایی "۰۰° ۳۶' تا ۰۰° ۳۶' و طول جغرافیایی "۰۰° ۴۵' تا ۰۰° ۴۵' است. از نظر magma میسم، سه فاز اصلی در منطقه بینالود



شکل ۱ نقشه‌ی زمین‌شناسی منطقه‌ی مورد بررسی، برگرفته از نقشه‌ی ۱:۱۰۰۰۰۰ زمین‌شناسی مشهد [۲۷].

کوارتز - ارتوز - مسکوویت - تورمالین دار دیده می‌شوند. به طور مثال در ده غیبی، پگماتیت‌ها شامل ارتوز و کوارتز به ابعاد بزرگتر از ۲ تا ۳ سانتی‌متر هستند. در ضمن بلورهای مسکوویت به ابعاد یک سانتی متر یا بیشتر در آن‌ها دیده می‌شود. با توجه به روابط صحرایی، این سنگ‌ها به‌وسیله رگه‌های پگماتیتی تورمالین دار قطع می‌شوند. دانه‌بندی در گرانیت‌ها یکنواخت است اما گاهی تغییراتی در آن دیده می‌شوند مثلاً در منطقه‌ی

ویژگی‌های صحرایی و سنگ نگاری در این بخش به بررسی ویژگی‌های صحرایی و سنگ نگاری دو بخش مهم یعنی گرانیت میزبان تورمالین و تورمالین گرهکی و هاله لوکوکرات اطراف آن می‌پردازیم.

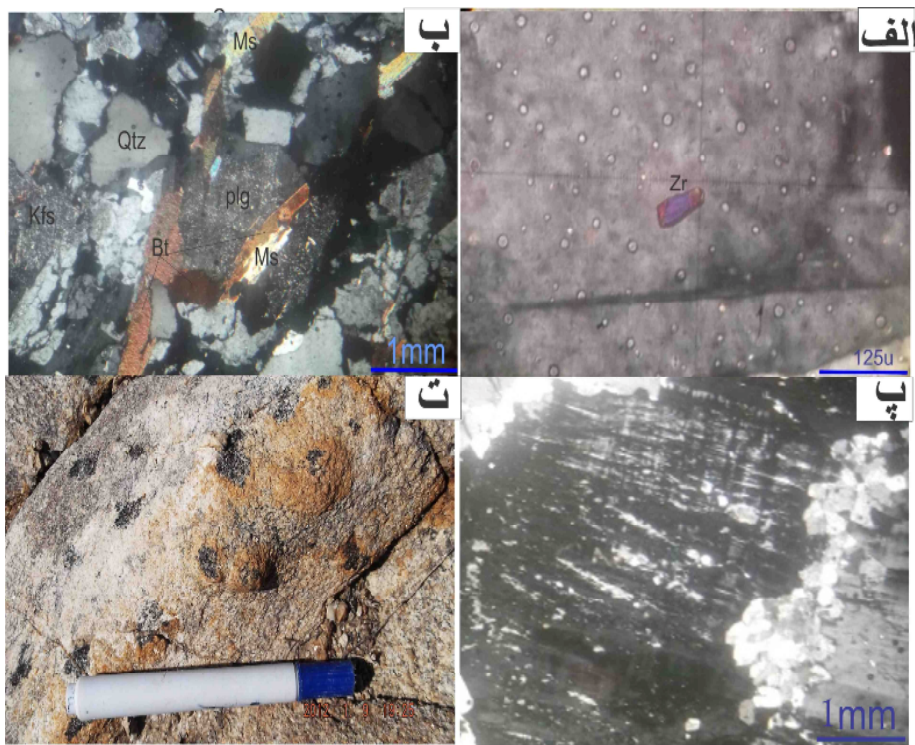
گرانیت میزبان
در مناطق خلچ و ده غیبی گرانیت‌های لوکوکرات متوسط تا درشت دانه (مسکوویت و بیوتیت‌دار میان دانه) و پگماتیت‌های

رخداد می‌تواند به دلیل تبادلات یونی بین سنگ میزبان و مرکز گرهک باشند و این فرایندها منجر به پایداری بیشتر مرکز گرهک نسبت به حاشیه آن می‌شود. هاله‌ی روشن گرهک فاقد کانی‌های مافیک از جمله بیوپیت است و شامل کوارتز، میکروکلین، ارتوکلار و مسکوپیت هستند که این حاشیه هماهنگی کانی‌شناسی بیشتری با سنگ میزبان لوکوکرات دارد. هسته‌ی گرهکها شامل تورمالین و کوارتز است. این گرهکها به صورت نامنظم در سنگ میزبان پراکنده‌اند و دارای شکل‌های متفاوت از گرد شده تا بی قاعده هستند. در بعضی موارد کشیدگی خاص (لوله مانند) دارند. در مقاطع میکروسکوپی دارای بافت دانه‌ای و میرمکیتی بوده و حاوی کوارتز، تورمالین، پلاژیوکلار، موسکوپیت، بیوپیت، میکروکلین، ارتوکلار و کانی تیره هستند. در این سنگ‌ها کانی تورمالین دارای چند رنگی سبز مایل به قهوه‌ای بوده و هسته سبز-آبی و حاشیه‌ی قهوه‌ای دارد (شکل ۳ب).

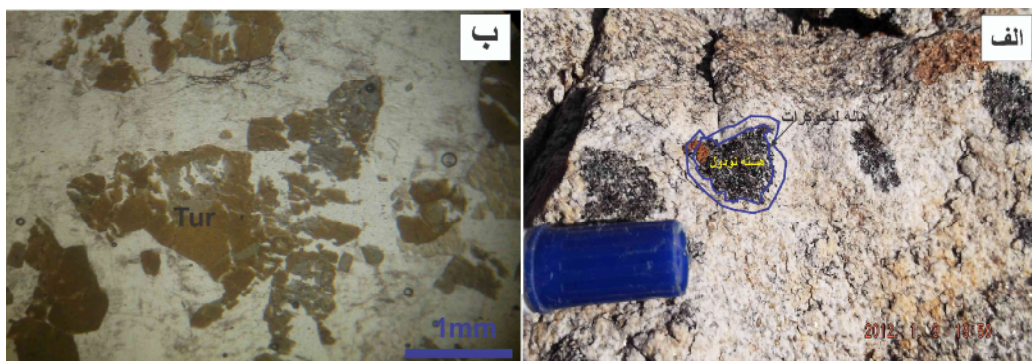
هفت حوض، میزان مسکوپیت و نیز اندازه آن بزرگ‌تر از بیوپیت است ولی با حرکت به سمت شرق توده‌ی میزان، بیوپیت مساوی و یا بیشتر از موسکوپیت می‌شود و در آن‌ها یک سمت‌یابی ترجیحی دیده می‌شود، ولی در کل، این توده درشت تا میان دانه است. در مقاطع میکروسکوپی، گرانیت‌های منطقه-ی مورد بررسی تمام بلورین، درشت تا میان دانه است و دارای کانی‌های اصلی کوارتز، پلاژیوکلار، میکروکلین، موسکوپیت، بیوپیت (شکل ۲الف) و کانی‌های فرعی آپانیت، زیرکن (شکل ۲ب) و گارنت (آلماندین) با بافت دانه‌ای، پرتیتی (شکل ۲پ) و میرمکیتی هستند. در مناطق حاشیه و بخش‌های بالای توده‌ی تورمالین‌های گرهکی به صورت پراکنده در سنگ میزبان لوکوکرات دیده می‌شوند (شکل ۲ت).

تورمالین و هاله لوکوکرات آن

در منطقه‌ی خلچ، سنگ گرانیت دو میکایی حاوی تورمالین-هایی با شکل‌های گرهکی دیده می‌شوند که در اطراف بعضی از گرهک‌های تورمالین، هاله واکنشی وجود دارد (شکل ۳الف). این



شکل ۲ الف) تصویر میکروسکوپی از گرانیت‌های مورد بررسی با بلورهای بیوپیت (Bt)، موسکوپیت (Ms)، پلاژیوکلار (Plg)، کوارتز (Qtz) و فلدسپات قلیایی (میکروکلین) (Kfs) در نور Xpl. ب) تصویری از بلور زیرکن (Zr) در نور Xpl. پ) تصویر میکروسکوپی از بافت پرتیت در سنگ‌های گرانیتی منطقه، ت) نمایی از تورمالین‌های گرهکی در سنگ میزبان گرانیتی.



شکل ۳ الف) نمایی از یک گرهک همراه با هاله لوکوکرات آن. ب) تصویر میکروسکوپی از تورمالین گرهکی و وجود منطقه بنده با هسته سبز و حاشیه قهوه‌ای در آن (در نور (PPI).

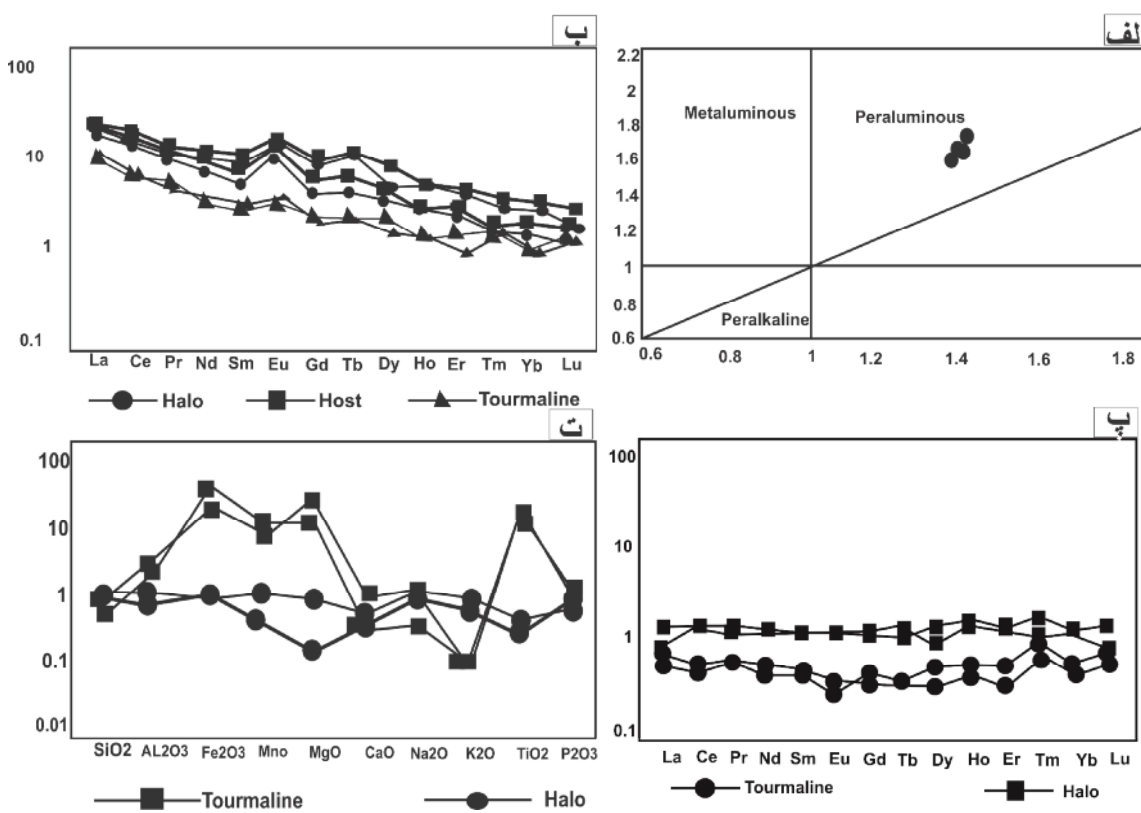
شیمی سنگ میزبان، هاله و تورمالین گرهکی
بر اساس آنالیزهای شیمیایی (جدول ۱)، سنگ میزبان دارای SiO_2 (۶۹,۴-۶۹,۷٪ درصد وزنی)، Al_2O_3 (۱۳,۱-۱۵,۲٪ وزنی) و نیز دارای مقادیر پایینی از Fe_2O_3 (۰,۶-۰,۳٪)، TiO_2 (۰,۰۳-۰,۰۵٪)، CaO (۰,۱-۰,۲٪)، MgO (۰,۲۴٪) و Na_2O (۴,۵٪) درصد وزنی) و مقادیر نسبتاً بالایی از K_2O (۴,۴٪-۴,۱٪) درصد وزنی) و $\text{ASi}=1,۴۶-1,۳۳$ است. شاخص اشباع از آلومینیم سنگ میزبان ($\text{ASI}=1,۴۶-1,۳۳$) درجهی متوسط تا پرآلومینیم را نشان می‌دهد (شکل ۴الف). سنگ میزبان مقادیر بالای SiO_2 ، تمرکز پایین از عناصر آهن و منیزیم و مقادیر بالای عناصر بزرگ یون (LIL) ppm) Ba (LIL)، Rb (۱۱-۱۸ ppm)، Cs (۱۸۱-۲۱۳ ppm)، Sr (۴۶۲-۴۷۳ ppm) و Zn (۳۰-۴۰ ppm) را نشان می‌دهد. گرانیت میزبان با الگوی بهنجار شده (کندربیت [۳۳]) تقریباً صاف و جدا شده و غنی شدگی REE (La/Yb = ۷,۹-۱۱,۵) و نیز بی‌هنجاری نسبت به HREE (La/Yb = ۱۱,۵-۱۲,۱) مشخص می‌شود (شکل ۴ب). الگوی REE مثبت Eu، مقدار پایین ($\Sigma\text{REE} = ۳۳-۳۶$)، ($\text{Eu}/\text{Eu}^* = ۱,۵۶$) این سنگ‌ها با الگوی گرانیتهای حاصل از ذوب بخشی متاپلیت‌ها سازگار است و به عقیده [۲۸] مبنی بر اینکه این گرانیت‌ها جز گرانیتهای جدا شده و در گستره‌ی گرانیتوئیدهای پرآلومین به شدت فلزیک قرار دارند که از ذوب متاپلیت‌ها و پسامیت‌ها به وجود آمده‌اند را تأیید می‌کند.

روش بررسی

طی بررسی‌های صحرایی از منطقه و نمونه برداری، تعداد ۵۰ نمونه برای تهیه مقطع نازک انتخاب شدند. پس از بررسی‌های میکروسکوپی، از ۳ نمونه برای بررسی‌های دقیق کانی‌شناسی و تعیین کانی‌های مناسب برای آنالیزهای وابسته به شیمی کانی‌ها، مقطع نازک - سیقلی تهیه شد و سپس در مرکز تحقیقات فرآوری مواد معدنی ایران با یک تجزیه کننده Cameca SX100 نقطه‌ای مدل ۱۵ Kev و ۲۰ nA، آنالیز نقطه-فرانسه؛ در شرایط ولتاژ ۱۵ Kev و آمپراژ ۲۰ nA، آنالیز نقطه-ایی تورمالین انجام شد. به طوری که برای تعیین ویژگی‌های ژئوشیمیایی تورمالین‌های منطقه‌ی مورد بررسی روی ۱۳ نقطه آنالیز ریز پردازشی صورت گرفت. دستیابی به فرمول ساختاری این کانی‌ها با استفاده از ۳۱ آنیون (O, OH) انجام شد. در ادامه بهمنظور بررسی XRF و ICP-MS و تعیین عناصر کمیاب بهصورت کاتیونی و نیز تعیین ۱۰ اکسید اصلی سنگ از نمونه‌های تورمالین و سنگ میزبان به جدایش کانی تورمالین پرداخته شد. به این صورت که نخست نمونه‌های مورد نظر را تا ۱۲۰ فی خرد کرده و با استفاده از محلول سنگین برموفرم، تورمالین‌ها از سنگ میزبان جدا شدند. سپس نمونه‌های جدا شده را دوباره با استفاده از هاون تا ۲۰۰ فی خرد کرده و با استفاده از میکروسکوپ بیناکولار به جدا سازی و خالص‌سازی دانه‌های تورمالین‌ها پرداخته شد. پس از این مراحل، نمونه‌های آمده شده (سنگ میزبان، کانی تورمالین و هاله لوکوکرات پیرامون گرهک) به آزمایشگاه Act lab کانادا ارسال شدند که نتایج حاصل از این آنالیزها در جدول ۱ ارائه شده‌اند.

جدول ۱ داده‌های ژئوشیمیابی مربوط به تورمالین گرهکی، سنگ میزبان و هاله لوكوکرات اطراف تورمالین گرهکی.

	Halo	Tourmaline	Host	Halo	Tourmaline	Host
SiO ₂	72,77	25,04	69,4	77,25	35,42	69,7
Al ₂ O ₃	13,4	21,52	13,1	12,4	32,51	15,23
Fe ₂ O ₃ (t)	0,47	13,53	0,6	0,37	12,66	0,33
MnO	0,03	0,18	0,03	0,006	0,144	0,011
MgO	0,08	2,96	0,1	0,05	2,08	0,24
CaO	1	0,68	2,3	1,1	0,8	2,45
Na ₂ O	4,01	2,08	2,63	4,38	1,65	4,53
K ₂ O	2,5	0,08	4,13	3,38	0,39	4,43
TiO ₂	0,06	0,85	0,05	0,011	0,624	0,031
P ₂ O ₅	0,13	0,13	0,25	0,1	0,09	0,1
LOI	0,88	1,68	0,93	0,48	2,42	1,96
Total	97,29	88,73	94,52	100,52	89,78	99,01
Sc	1	7	1	1	13	1
Be	11	9	11	16	10	17
V	7	30	6	6	33	6
Ba	511	12	462	367	50	472
Sr	169	80	181	178	49	212
Y	9	2	10	6	3	7
Zr	76	11	60	19	9	21
Cr	20	20	20	20	60	20
Co	1	12	1	1	10	1
Ni	20	20	20	20	20	20
Cu	40	20	20	80	70	30
Zn	30	78,	30	40	640	40
Ga	17	85	15	14	89	16
Ge	2	2	1	1	2	2
As	5	5	5	5	5	5
Rb	170	2	226	151	21	200
Nb	7	1	5	1	1	3
Mn	2	2	2	2	2	2
Ag	0,9	0,5	0,5	0,5	1,6	0,5
In	0,2	0,2	0,2	0,2	0,2	0,2
Sn	12	30	15	11	18	8
Sb	0,5	0,5	0,5	0,5	0,5	0,5
Cs	14,1	0,5	1,1	7,8	0,7	11
La	4,8	4,9	7,1	5,8	32	6,8
Ce	12,4	7,9	13,1	11,4	52	12,8
Pr	1,4	0,75	1,66	1,24	0,71	1,42
Nd	5,23	2,5	9,16	4,5	2	5,1
Sm	1,4	0,6	1,6	1	0,5	1,3
Eu	0,81	0,26	0,89	0,84	0,23	0,95
Gd	1,7	0,5	1,9	1,1	0,6	1,5
Tb	0,4	0,1	0,4	0,2	0,1	0,3
Dy	1,3	0,5	2	1,2	0,7	1,5
Ho	0,3	0,1	0,3	0,2	0,1	0,2
Er	0,7	0,2	0,8	0,5	0,3	0,6
Tm	0,08	0,05	0,1	0,05	0,05	0,06
Yb	0,5	0,2	0,6	0,3	0,2	0,4
Lu	0,05	0,04	0,08	0,04	0,04	0,06
Hf	0,42	0,4	0,5	0,5	0,3	0,6
Ta	0,8	0,8	1,3	0,9	0,5	1,1
W	1	1	1	1	1	1
Tl	0,9	0,1	1,1	0,7	0,8	0,8
Pb	43	19	45	59	21	59
Bi	0,4	0,4	1,1	0,4	1,2	1,6
Th	1,3	0,7	1,8	1,7	0,1	1,7
U	1,1	1,1	1,3	1,2	0,5	1,6



شکل ۴. الف) نمودار تعیین شاخص اشباع از آلومینیم Al/NK نسبت به Al/NCK REE های سنگ میزبان و هاله‌ی لوکوکرات و تورمالین بر اساس کندریت ها [۳۳] پ) نمودار بهنجار شده REE های هاله‌ی لوکوکرات و کانی تورمالین نسبت به سنگ میزبان. ت) نمودار بهنجار شده عناصر اصلی هاله لوکوکرات و تورمالین بر اساس سنگ میزبان.

این بهدلیل وجود کوارتز و نیز جدایش بیشتر گدازه است، در حالی که میزان Al_2O_3 (۱۳/۴ با درصد وزنی) کمتر و تقریباً مشابه با سنگ میزبان است.

هسته‌ی گرهک‌ها دارای مقادیر نسبتاً بالای Fe_2O_3 (۱۳/۵۳ - ۱۲/۶۶ درصد وزنی) و MgO (۳۰/۸ - ۲/۹۶ درصد وزنی) هستند که بر این اساس تورمالین و بیوتیت به عنوان فازهای آهن و منیزیم‌دار در ماقام‌ای اسیدی می‌توانند محاسب شوند. تورمالین نسبت به سنگ میزبان دارای مقادیر پایین Na_2O (۰/۰۸ - ۰/۰۴ درصد وزنی)، K_2O (۰/۳۹ - ۰/۰۸ درصد وزنی)، CaO (۰/۰۸ - ۰/۶۸ درصد وزنی) است (شکل ۴ت). Sr (۱۲-۵۰ ppm)، Rb (۲-۲۱ ppm)، Cs (۰/۰۷ - ۰/۰۵ ppm) در گرهک پایین است که تفاوت زیادی با سنگ میزبان دارد. مقدار Zn (۶۴۰-۷۸۰ ppm) در گرهک بسیار بیشتر از سنگ میزبان و هاله لوکوکرات است. به عقیده‌ی [۳۴] عناصری مانند قلع، تنگستن، مولیبدن، سرب و روی

مقادیر عناصر کمیاب هاله‌ی، Sr (۳۶۷-۵۱۱ ppm)، Ba (۱۶۹-۱۷۸ ppm)، Rb (۰/۰۵-۰/۰۸ ppm)، Cs (۳۰-۴۰ ppm) و Zn (۱۵۱-۱۷۰ ppm) نیز تقریباً مشابه با سنگ میزبانش نشان هستند. همچنین بیهنجاری Eu مشبт و مشابه با سنگ میزبان است اما نسبت به سنگ $\sum\text{REE}$ (۲۸-۳۱) پایین است (شکل ۴پ).

هاله روشن نودول دارای مقادیر پایین Fe_2O_3 (۰/۰۷-۰/۰۸) درصد وزنی)، MgO (۰/۰۵-۰/۰۸ درصد وزنی) است که نشان دهنده‌ی نبود یا کمبود کانی‌های آهن و منیزیم دار مانند بیوتیت در هاله‌ی لوکوکرات است. مقادیر CaO (۱-۱/۱ درصد وزنی)، Na_2O (۴/۳۸-۴/۰۱ درصد وزنی)، K_2O (۳/۵-۳/۳۸ درصد وزنی) در هاله‌ی نسبت به سنگ میزبان کمتر است (شکل ۴ت) که می‌تواند به دلیل کمبود کانی‌هایی مانند میکروکلین و یا پلاژیوکلاز در هاله باشد. میزان SiO_2 (۷۷/۲۵-۷۳/۲۵ درصد وزنی) در هاله‌ی بیشتر از سنگ میزبان است و

در تغییر است که حاکی از عوامل جانشینی مانند جانشینی چند ظرفیتی فوئیت $X\text{-vac} + \text{Al} = \text{Na} + \text{Mg}$ در آن است (شکل ۵پ). جانشینی اوویت $\text{Ca} + \text{Mg} = \text{Na} + \text{Al}$ نیز برای این تورمالین‌ها مشخص است (شکل ۵ت). بر اساس نمودار $\text{Fe}-\text{Mg}-\text{Ca}$ ، تورمالین‌های مورد بررسی در گسترهای وابسته با گرانیتوئیدهای فقیر از لیتیم، پگماتیتها و آپلیت‌های وابسته به آن‌ها و سنگ‌های کوارتز-تورمالین، متاپسامیت‌ها و متاپلیت‌های فقیر از Ca قرار می‌گیرند (شکل ۶الف). در نمودار R_2^* در برابر Al in R_2 ، نمونه‌های آنالیز شده که در زیر خط $\text{R}_2^*=3$ قرار می‌گیرند نشان می‌دهد جایگاه Y آن‌ها به طور کامل پر نشده است. نقصان در این نمونه‌ها را می‌توان با فعالیت‌های جانشینی آلبائیت $\text{LiAl}(\text{Mg},\text{Fe})_1$ توجیه کرد (شکل ۶ب). تغییرات Fe در برابر Mg نشان می‌دهد که تمامی نمونه‌ها در زیر خط $\sum(\text{Fe} + \text{Mg}) = 3$ قرار گرفته‌اند. بر $\sum(\text{Fe} + \text{Mg})$ اساس این نمودار در تمام نمونه‌هایی که دارای Al در جایگاه Y بیشتر است کمتر از ۳ هستند، جانشینی Al در جایگاه Y بیشتر است (شکل ۶پ). در بررسی غنی‌شدگی تورمالین‌های گرهکی از عناصر قلیایی مانند (Ca,Na) از نمودار Ca در برابر Na استفاده شده است که بر اساس آن نمونه‌ها دارای سدیم بیشتر بوده و دارای Ca کمتر از ۰۲ هستند که نشان‌دهنده مقادیر $\text{Ca} + \text{Mg} = (\text{Na} + \text{Al})_1$ است و دارای تبادلاتی مانند $\text{Ca} = \text{X-vac} + \text{Na}$ هستند (شکل ۶ت). در نمودار $\text{MgO}/\text{FeO} + \text{MgO}$ بین ۰۶ تا ۰۸ قرار می‌گیرند (شکل ۶ث). اگر $\text{FeO}/\text{FeO} + \text{MgO}$ در تورمالین بیشتر از ۰۸ باشد نشان دهنده‌ی بسته بودن سیستم ماقمایی و اگر کمتر از ۰۶ باشد نشان دهنده بور با یک خاستگاه خارجی و باز بودن سیستم است [۴]. در مورد تورمالین‌های گرهکی که در بین این دو گستره قرار گرفته‌اند، می‌توان گفت که خاستگاه دو گانه دارند. تورمالین‌های گرهکی بر اساس نمودار $\text{Fe}/\text{Fe} + \text{Mg}$ در برابر Mg غنی‌شدگی از $\text{Fe}/\text{Fe} + \text{Mg}$ را نشان می‌دهند (شکل ۶ج). در نمودار $\text{Na}^* + \text{Al}^*$ نسبت به $\text{Ca} + \text{Mg}^*$ در جهت نمونه‌ها در جهت تبادلات چند ظرفیت ۱ - $(\text{X-vac} + \text{Al}) = \text{Ca} + \text{Mg}$ تمایل دارند و وجود مقدار کم اولیت را نشان می‌دهند (شکل ۶الف) (شکل ۶).

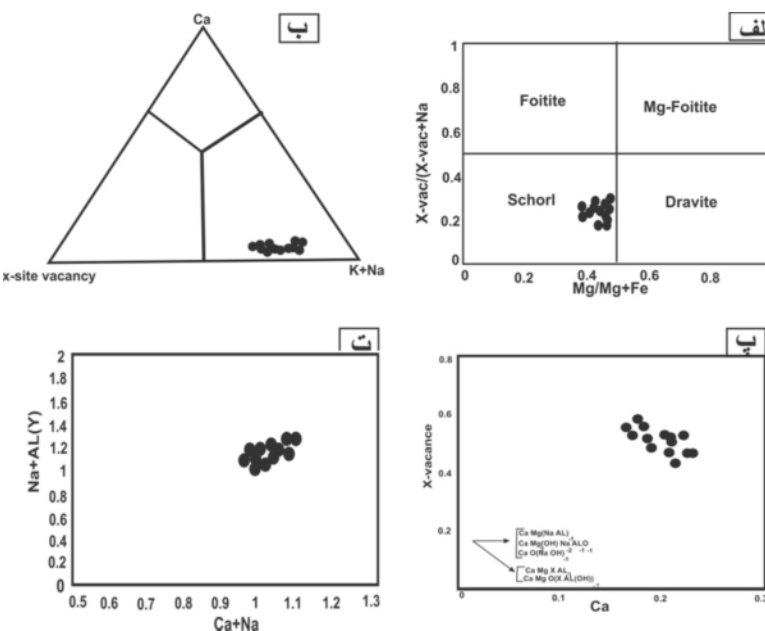
انباست پوسته‌ای دارند و این فلزات به وسیله‌ی گرمابها و به خصوص هالوژن‌ها حمل می‌شوند و بیشتر در کانی‌های حاوی هالوژن (فلوئور و برم) جمع می‌شوند. این عناصر در طول فرآیند تکامل ماقمایی رفتار ناسازگار دارند، از این‌رو بی‌هنجری روی می‌تواند به علت جدایش زیاد ماقمایی و قرارگیری Zn در گدازه‌ای که حاوی هالوژن‌هاست، باشد. در کل تورمالین جدا شده از گدازه در اثر جدایش بلوری، قادر به جدایش عناصر کمیاب زیادی به استثنای بور نیست [۳۵]. بی‌هنجری Eu مثبت ولی کمتر از سنگ میزانش است و دارای مقادیر $\sum\text{REE} / \text{Eu}^* = (13-145)$ پایین است. تورمالین‌های موجود در گرانیتها، بی‌هنجری‌های مشابه اما کمتر نسبت به سنگ میزان را نشان می‌دهند زیرا REE ‌ها، آبگون را نسبت به شاره آبدار ترجیح می‌دهند [۳۶]. بنابراین اگر تورمالین از شاره‌های آبدار متبلور شده باشد دارای غلظت REE پایین‌تری است و تورمالین مشتق شده از شاره آبدار نسبت به تورمالین حاصل از گدازه از REE فقریرتر است. Eu در تورمالین در جایگاه X قرار می‌گیرد و احتمالاً این بی‌هنجری کمتر به دلیل کم بودن کلسیم در جایگاه X تورمالین است [۳۷].

ژئوشیمی تورمالین نودولی

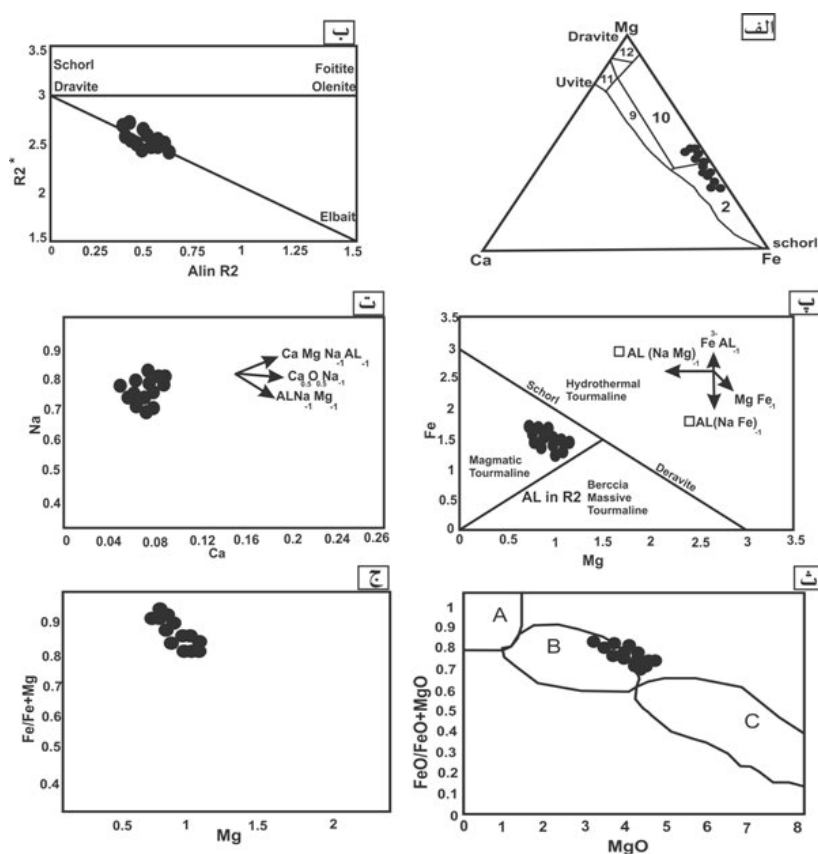
داده‌های آنالیز نقطه‌ای کانی تورمالین از حاشیه به مرکز در جدول ۲ ارائه شده‌اند. بر اساس نمودار $\text{Mg/Mg} + \text{Fe}$ در برابر $\text{X-vac}/\text{X-vac} + \text{Na}$ ، تورمالین‌های گرهکی در گستره بین شورلیت و متایل به دراویت قرار گرفته‌اند (شکل ۵الف). ضریب جانشینی دراویت در اثر تغییرات عوامل $\text{Mg}^1 - \text{Fe}^{\text{Mg}} - \text{Fe}^{\text{Mg}} + \text{Fe}$ بین ۵۶-۶۳ در تغییر است که نشان شود. مقدار Mg در گدازه‌ی گرانیتی مرحله تأخیری دهنده‌ی تمایل بیشتر تورمالین گرهکی در جهت شورل است و این به دلیل کمیابی Mg در گدازه‌ی گرانیتی مرحله Mg گدازه، است. مقدار $\text{Fe}/\text{Fe} + \text{Mg}$ تورمالین به مقدار Fe و Mg با فشار و دما وابسته است [۳۸]. در تورمالین‌ها نرخ Fe و Mg با جدایش بیشتر کاهش می‌یابد و تورمالین‌ها از بیوتیت و گدازه همزیست با آن، Mg بیشتری دارند [۳۹]. تورمالین‌ها بر اساس نمودار مثلثی $\text{K} + \text{Na} - \text{Ca}$ وجود فضای خالی در جایگاه X در گستره قلیایی تورمالین‌های گرفته‌اند (شکل ۵ب). مقدار کمبود جایگاه X در این تورمالین‌ها بین ۰۰۲۹ تا ۰۰۱۹

جدول ۲ داده‌های مربوط به آنالیز نقطه‌ای از حاشیه به مرکز کانی تورمالین. دستیابی به فرمول ساختاری این کانی‌ها با استفاده از ۳۱ آنیون (O, OH) انجام شده است.

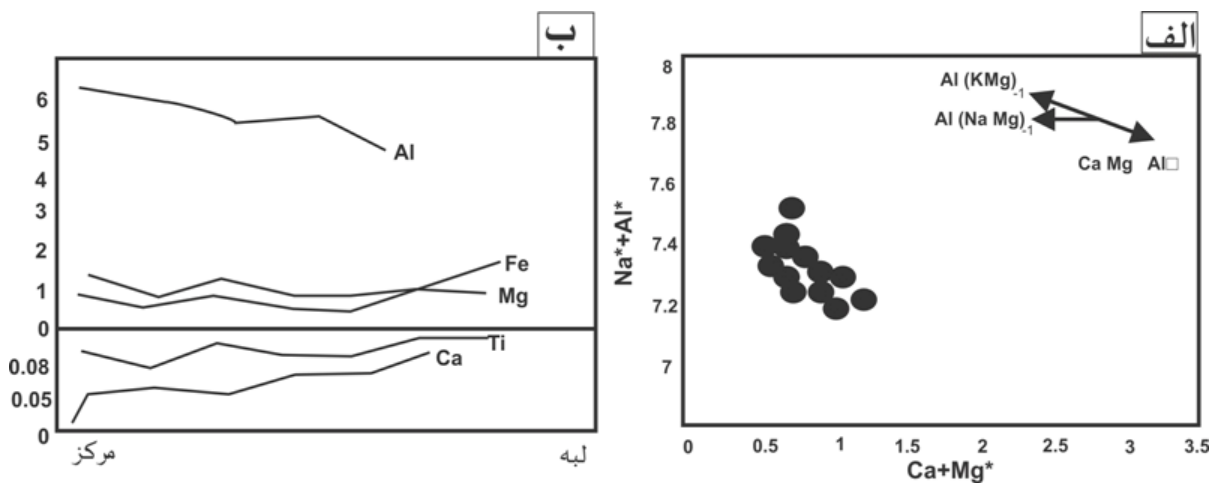
point	۱(مرکز)	۲	۳	۴	۵	۶(حاشیه)	۱(مرکز)	۲	۳	۴	۵	۶	۷(حاشیه)
SiO ₂	۳۶,۱۸	۳۷,۷۶	۳۷,۰۱	۳۵,۸۰	۳۶,۷۰	۳۷,۱۱	۳۶,۵۴	۳۶,۶۵	۳۴,۷۳	۳۷,۲۵	۳۷,۷۹	۳۶,۲۷	۳۶,۲۲
TiO ₂	۰,۷۵	۰,۷۶	۰,۷۷	۰,۸۹	۰,۶۹	۱,۰۷	۰,۷۰	۰,۶۱	۰,۷۶	۰,۶۹	۰,۶۹	۰,۷۸	۰,۸۰
Al ₂ O ₃	۳۴,۱۸	۳۵,۵۸	۳۴,۳۷	۳۲,۶۰	۳۳,۴۳	۳۳,۱۸	۳۳,۳۲	۳۴,۲۱	۳۴,۴۲	۳۴,۴۹	۳۴,۱۰	۳۴,۱۸	۳۳,۲۱
FeO	۹,۹۱	۹,۸۲	۱۰,۱۰	۱۰,۲۷	۱۰,۶۱	۱۱,۰۱	۹,۹۴	۹,۷۰	۹,۸۱	۹,۸۵	۹,۸۲	۹,۷۳	۱۰,۱۳
MnO	۰,۱۳	۰,۱۰	۰,۱۱	۰,۱۲	۰,۱۲	۰,۱۰	۰,۱۹	۰,۱۸	۰,۱۱	۰,۱۰	۰,۱۸	۰,۰۹	۰,۱۰
MgO	۲,۷۰	۴,۳۲	۳,۶۹	۳,۹۱	۳,۷۱	۳,۶۷	۴,۵۳	۴,۳۵	۴,۴۶	۴,۳۶	۴,۲۷	۴,۵۸	۴,۵۰
CaO	۰,۲۸	۰,۳۸	۰,۳۷	۰,۳۳	۰,۳۷	۰,۲۸	۰,۰۰	۰,۳۶	۰,۳۷	۰,۳۶	۰,۴۳	۰,۴۲	۰,۴۸
Na ₂ O	۲,۱۰	۲,۳۶	۲,۱۷	۲,۲۴	۲,۲۱	۲,۱۸	۲,۲۰	۲,۲۱	۲,۲۷	۲,۱۴	۲,۱۷	۲,۲۰	۲,۱۲
K ₂ O	۰,۰۶	۰,۰۶	۰,۰۵	۰,۰۶	۰,۰۶	۰,۰۷	۰,۰۴	۰,۰۵	۰,۰۹	۰,۰۶	۰,۰۶	۰,۰۵	۰,۰۸
Total	۹۰,۲۹	۹۴,۱۵	۹۱,۷۴	۹۰,۱۵	۹۰,۷۸	۹۱,۳۹	۹۰,۳۲	۹۱,۳۲	۸۹,۸۷	۹۲,۲۴	۹۲,۵۱	۹۰,۱۷	۹۰,۰۵
Si	۵,۹۰	۵,۸۹	۵,۹۳	۵,۸۷	۵,۹۷	۵,۹۹	۵,۹۵	۵,۹۱	۵,۷۱	۵,۹۳	۶,۰۱	۵,۹۲	۵,۹۱
Ti	۰,۰۹	۰,۰۹	۰,۰۹	۰,۱۱	۰,۰۸	۰,۱۳	۰,۰۹	۰,۰۷	۰,۰۹	۰,۰۸	۰,۰۸	۰,۱۰	۰,۱۰
Al	۶,۵۷	۶,۵۴	۶,۴۹	۶,۴۹	۶,۴۱	۶,۳۲	۶,۴۰	۶,۵۰	۶,۶۷	۶,۴۷	۶,۳۹	۶,۳۹	۶,۳۸
Fe(ii)	۱,۳۵	۱,۲۸	۱,۳۴	۱,۴۱	۱,۴۴	۱,۴۹	۱,۳۵	۱,۳۱	۱,۳۵	۱,۳۱	۱,۳۱	۱,۳۳	۱,۳۸
Mn	۰,۰۲	۰,۰۱	۰,۰۱	۰,۰۲	۰,۰۲	۰,۰۱	۰,۰۱	۰,۰۱	۰,۰۲	۰,۰۱	۰,۰۱	۰,۰۱	۰,۰۱
Mg	۰,۹۰	۱,۰۰	۰,۹۵	۰,۹۶	۰,۹۰	۰,۸۸	۱,۱۰	۱,۰۵	۱,۰۹	۱,۰۴	۱,۰۱	۱,۱۲	۱,۰۹
Ca	۰,۰۵	۰,۰۶	۰,۰۸	۰,۰۶	۰,۰۶	۰,۰۵	۰,۰۰	۰,۰۶	۰,۰۷	۰,۰۶	۰,۰۷	۰,۰۸	۰,۰۸
Na	۰,۶۶	۰,۷۱	۰,۶۷	۰,۷۱	۰,۷۰	۰,۶۸	۰,۷۰	۰,۶۹	۰,۷۲	۰,۶۶	۰,۶۷	۰,۷۰	۰,۶۷
K	۰,۰۱	۰,۰۱	۰,۰۱	۰,۰۱	۰,۰۱	۰,۰۱	۰,۰۱	۰,۰۱	۰,۰۲	۰,۰۱	۰,۰۱	۰,۰۲	۰,۰۲
TOTAL	۱۵,۵۶	۱۵,۶۱	۱۵,۵۷	۱۵,۶۴	۱۵,۶۰	۱۵,۵۷	۱۵,۶۱	۱۵,۶۱	۱۵,۷۳	۱۵,۵۸	۱۵,۵۶	۱۵,۶۴	۱۵,۶۵
X site	۰,۷۳	۰,۷۹	۰,۷۵	۰,۷۸	۰,۷۷	۰,۷۵	۰,۷۰	۰,۷۶	۰,۸۱	۰,۷۳	۰,۷۵	۰,۷۸	۰,۷۷
X vac	۰,۲۷	۰,۲۱	۰,۲۵	۰,۲۲	۰,۲۳	۰,۲۵	۰,۳۰	۰,۲۴	۰,۱۹	۰,۲۷	۰,۲۵	۰,۲۲	۰,۲۳
Xvac,Xvac+Na	۰,۲۹	۰,۲۳	۰,۲۷	۰,۲۳	۰,۲۴	۰,۲۷	۰,۳۰	۰,۲۶	۰,۲۱	۰,۲۹	۰,۲۷	۰,۲۴	۰,۲۵
Mg,Fe+Mg	۰,۴۰	۰,۴۴	۰,۴۱	۰,۴۰	۰,۳۸	۰,۳۷	۰,۴۵	۰,۴۴	۰,۴۵	۰,۴۴	۰,۴۴	۰,۴۶	۰,۴۴
Y:Al	۰,۶۸	۰,۶۴	۰,۶۰	۰,۵۷	۰,۵۲	۰,۴۵	۰,۵۱	۰,۶۱	۰,۵۸	۰,۵۸	۰,۴۹	۰,۴۹	۰,۴۹
R ₂ *	۲,۲۷	۲,۳۰	۲,۳۰	۲,۳۸	۲,۳۶	۲,۳۸	۲,۴۷	۲,۳۶	۰,۴۶	۲,۳۶	۲,۳۳	۲,۴۶	۲,۴۹
R ₂	۰,۵۹	۰,۵۵	۰,۵۵	۰,۵۱	۰,۴۹	۰,۴۸	۰,۴۷	۰,۵۱	۰,۵۰	۰,۵۲	۰,۵۰	۰,۴۴	۰,۴۲
K+Na	۰,۶۸	۰,۷۳	۰,۶۸	۰,۷۲	۰,۷۱	۰,۷۰	۰,۷۰	۰,۷۰	۰,۷۰	۰,۷۴	۰,۶۷	۰,۷۱	۰,۶۹
FeO/FeO+MgO	۰,۶۰	۰,۵۶	۰,۵۶	۰,۶۰	۰,۶۲	۰,۶۳	۰,۵۵	۰,۵۶	۰,۵۵	۰,۵۶	۰,۵۶	۰,۵۴	۰,۵۶



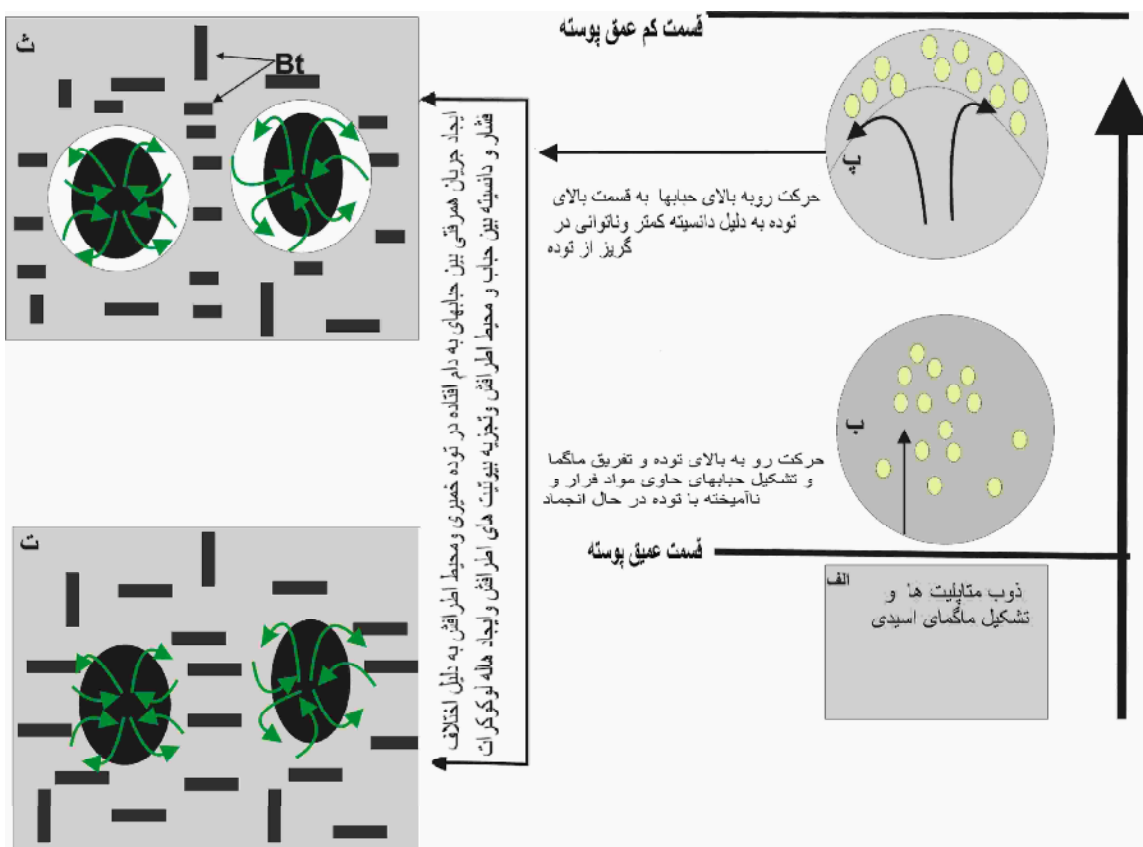
شکل ۵: (الف) ترکیب تورمالین گرهکی در گستره شورلیت - دراویت به سمت شورلیت ب) نمودار مثلثی (Na+K) و Ca و قرارگیری تورمالین گرهکی در محل قلایی. پ) نمودار نشان دهنده جانشینی بیشتر در تورمالین. ت) نمودار برای تعیین نوع جانشینی موجود در تورمالین.



شکل ۶: (الف) موقعیت تورمالین‌های گرهکی در نمودار مثلثی Ca-Fe-Mg : ۲: گرانیت‌وئیدهای فقیر از لیتیم، پگماتیت‌ها و آپلیت‌ها وابسته به آن‌ها. ۹: سنگ‌های کالکوسیلیکاته، متاپسامیت‌ها و متاپلیت‌های غنی از Ca. ۱۰: سنگ‌های کوارتز-تورمالین، متاپسامیت‌ها و متاپلیت‌های فقیر از Ca. ۱۱: متاکربنات‌ها ۱۲: اولترامافیک‌های دگرگون شده. ب) نمودار $R2^*=Fe+Mg+Mn+Al$, $R2=Al+1.33+Si-12$. Al in R2 نسبت به $R2^*$. (ث) قرارگیری نمونه‌ها در نمودار Na در برابر Ca (ث) نمودار Fe در برابر Mg و موقعیت تورمالین‌های گرهکی در آن. (ت) نمودار $FeO/FeO+MgO$ در برابر MgO که نشان‌دهنده قرارگیری تورمالین‌ها در موقعیت B است. (ج) نمودار $FeO/FeO+MgO$ در برابر MgO که نشان‌دهنده تمایل تورمالین‌ها در جهت Fe بیشتر است.



شکل ۷: (الف) همبستگی وارون $Ca+Mg^*$ در برابر Na^*+Al^* در تورمالین منطقه‌بندی شیمیایی در تورمالین منطقه‌ی مورد بررسی. (ب) تغییرات منطقه‌بندی شیمیایی در تورمالین منطقه‌ی مورد بررسی. $Mg^*=Mg+Fe+Mn+2Li-Ti$, $Na^*=Na+K$, $Al^*=Al+Fe3++2Ti-Li$



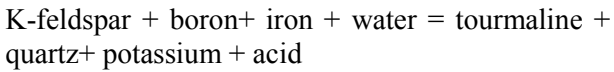
شکل ۸ تصویر نموداری از مراحل چگونگی تشکیل تورمالین‌های گرهکی (برای اطلاع بیشتر به متن رجوع شود).

ستبرشدن پوسته شده است. در نتیجه ستبرشدن پوسته‌ی قاره‌ای، متاپلیت‌ها، متاگریوک‌ها و متابازالت‌ها تحت شرایط دی‌هیدراسیون شروع به ذوب شدن کرده‌اند [۲۸]. با توجه به شاخص اشباع از آلومینیم سنگ میزبان و قرارگیری آن در سنگ‌های پرآلومین، محتوی Ca (درصد وزنی) پایین و SiO₂ زیاد (۶۹/۴-۶۹/۷ درصد وزنی)، افزایش عناصر کمیاب و بررسیهای [۲۸]، بیوتیت-مسکوویت لوکوگرانیت‌ها و پگماتیت‌های مشهد از نوع گرانیت‌های S هستند. در منطقه‌ی شواهد صحرایی و سنگ نگاری مانند میانبارهای متاپلیتی تهی شده از مسکوویت برای ایجاد گدازه اولیه از پوسته در یک شرایط برخوردی و بافت پرتیت، وجود تورمالین‌های دندربیتی می‌تواند دلیلی بر جایگیری توode در عمق کم باشد. بر این اساس اگر گدازه گرانیتی از ذوب متاپلیت‌ها شکل گرفته باشد بور در متاپلیت‌ها متمرکز بوده است [۴۲]. در ضمن تشکیل ماسگمای گرانیت در عمق و حرکت آن به سمت مناطق کم عمق پوسته و جدایش بیشتر ماسگما دو مایع نامیخته ایجاد می‌کند

بحث

بور عموماً بسیار کم در گدازه‌های پوسته‌ای و گرانیت‌وئیدها دیده می‌شود. مقدار این عنصر در گرانیت‌ها بیشتر از ۰/۱٪ وزنی نبوده و آن هم در تورمالین متمرکز می‌شود [۴۰]. با افزایش بور در شرایط اشباع از آب، گستره پایداری فلدسپات‌ها و دما شروع ذوب مجموع کوارتز-ارتوز کاهش و قابلیت اتحال آب و دامنه پایداری سیلیس در گدازه افزایش می‌یابد [۳۹]. بررسی-های ضریب توزیع بور نشان می‌دهد که بور همگام با پیشرفت تبلور در گدازه‌ها و شاره‌ها متمرکز می‌شود که در نهایت می‌تواند تورمالین را در مراحل آخر ماسگمایی تبلور کند. با توجه به این که متاپلیت‌ها حاوی کانی‌های رسی هستند و این کانی‌ها به ویژه ایلیت و مواد آلی می‌توانند مهمترین خاستگاه بور باشند، از این رو متاپلیت‌ها به میزان کافی حاوی بور هستند تا از طریق واکنش با کانی‌های دیگر سنگ، کانی تورمالین را تشکیل دهند [۴۱]. بنابراین در مورد خاستگاه بور در منطقه می‌توان گفت برخورد صفحه ایران و توران باعث کوتاه و

کاهش فشار در ضمن حرکت رو به بالای شاره با سرعت انجام گیرد قادر به واکنش با شاره‌های متاپلیتی دیواره نبوده و هاله‌ی روشن در پیرامون گرهک‌ها و منطقه‌ی بندی مشخص در تورمالین ایجاد نخواهد شد و بهدلیل بالا بودن نسبت $\text{Fe}/(\text{Fe}+\text{Mg})$ ، ترکیب تورمالین‌ها معمولاً شورلیت خواهد بود. در حالی که اگر جدایش حباب‌ها به آرامی صورت گیرد در ضمن حرکت شاره به سمت بالا با شاره‌های متاپلیت‌ها واکنش داده و شرایط تبلور یک شرایط ساب سالیدوس و یا نزدیک به سالیدوس ایجاد خواهد شد. با این تغییر در سیستم تبلور، منطقه‌ی بندی در بلور تورمالین به وجود می‌آید و واکنش با سنگ‌های اطراف منجر به بالا رفتن نسبت $\text{Mg}/(\text{Mg}+\text{Fe})$ شده و در نهایت تورمالین تبلور یافته ترکیب دراویت خواهد داشت [۴۷ و ۴۸]. طی تبلور تورمالین مقدار بور و آب کم می‌شود و در نتیجه دمای انجام‌دادن گدازه افزایش می‌یابد [۴۹]. در گدازه‌ی بدون آهن باقیمانده، گرانیت ریز دانه به صورت لوکوکرات در اطراف تورمالین متبلاور می‌شود که حاوی کوارتز فراوانی خواهد بود. [۲۲] تشکیل هسته سرشار از تورمالین را بر اساس واکنش زیر توضیح می‌دهند:



تشکیل گرهک تورمالین بر اساس واکنش بالا نیاز به وارد شدن مقادیری از $\text{B}, \text{Al}, \text{Fe}$ و خروج سیلیس دارد.

[۲۲] اعتقاد دارند که خاستگاه بور از شاره‌های مراحل انتهایی تبلور ماقماست. پتانسیم و اسید واقع در واکنش بالا باعث شیششی آهن از بیوتیت‌های سنگ میزان می‌شود و در نهایت تشکیل هاله‌ی روشنی را با خروج عنصر آهن و منیزیم در پیرامون گرهک امکان‌پذیر می‌سازد. بنابراین روش بالا نیز بر جانشینی دگرنهاد یا تورمالینی شدن گرانیت میزان تأکید دارد. کمبود $\text{Na}, \text{Ca}, \text{K}$ در هسته و Fe, Mg در هاله با انتشار داخلی $\text{Fe}, \text{Mg}, \text{Na}, \text{Ca}, \text{K}$ در گدازه انتقالی بین هسته و گرانیت می‌دانند. فرآیند انتشار-انحلال به قابلیت حمل و انتقال عنصر از سنگ به شاره وابسته است. فرآیند شیششو به سیله‌ی عوامل متعدد مانند ویژگی‌های ساختاری و واکنش محلهای مختلف در نزدیکی سطح مواد مغذی تعیین می‌شود [۵۰] به طوری که بیشترین انتشار در حاشیه تورمالین گرهکی رخ می‌دهد چون این محل دارای گرادیان‌های شدید غلظت است. مقدار سدیم تورمالین به دما و میزان سدیم سنگ میزان بستگی دارد [۵۱].

که یکی سرشار از مواد فرار و آب و دیگری سرشار از آلومینوسیلیکات است که $\text{B}, \text{Na}, \text{Fe}$ در مایع حاوی مواد فرار قرار دارد. مایع ناامیخته در گدازه‌ی تکامل یافته می‌تواند عاملی برای تشکیل تورمالین گرهکی باشد [۲۴]. عدم اختلاط بین گدازه‌ی سرشار از آلومینوسیلیکات و گدازه‌ی سرشار از مواد فرار و سرشار شده از بور توسط [۴۳] تأیید شده است. به نظر آن‌ها گدازه‌ی پلیمریزه شده سرشار از آب به شدت سرشار از $\text{B}, \text{Na}, \text{F}$ است. عناصر فرعی مایع سرشار از آب دارای تحرک زیادی بوده و می‌تواند به درون توده نفوذ کند و با توده آمیخته شود [۲۴]. در خلال تبلور توده، غلظت فاز بخار افزایش یافته و حباب‌های حاوی مواد فرار به دلیل چگالی پائین به سمت بالا حرکت می‌کنند [۱۳]. در این مدت حباب‌ها قادر به خروج از گدازه نبوده و در آن بدام می‌افتدند و این خود می‌تواند دلیلی در افزایش مواد فرار باشد. بدام افتادن شاره‌ی سرشار از بور و آب باعث تشکیل ویزیکول‌ها می‌شود و از طرفی کاهش فشار در طول جایگیری توده در عمق کم پوسته، ناامیختگی فاز شاره را افزایش می‌دهد و این شاره با شاره‌های قسمت‌های فوقانی توده مخلوط می‌شود [۶]. مدل فیزیکی [۴۴] در جهت ناامیختگی مواد فرار حاصل از یک ماگما نشان می‌دهد که در درجات پایین تبلور، حباب‌های مستقل شکل گرفته در ماگما می‌خواهند به صورت شناور بالا بیایند اما در بخش بالای توده با هم آمیخته می‌شوند و برای کاهش کشش سطحی در یک حجم کروی بهم می‌پیوندد. عامل اصلی برای این حرکت‌ها و جنبش‌ها، چسبندگی گدازه و همچنین توانایی بخارهای مواد فرار در تغییر آن معرفی شده است [۴۵]. در فشار پایین، ناامیختگی آب در گدازه سیلیکاتی به حضور مواد فرار فراوان نیاز دارد. در چنین شرایطی گدازه‌ی همگن اولیه به دو فاز مجزا یکی گدازه‌ی معمولی سرشار در آلومینوسیلیکات و دیگری گدازه‌ی حاوی مواد فرار سرشار از بور تبدیل می‌شود [۴۶]. این گدازه‌ی تکامل یافته سرشار از بور دی‌پلیمریزه، با چگالی پایین، چسبندگی و دمای لیکیدوس و سولیدوس پایین خواهد داشت [۴۷]. در این مدت، بور در یک فضای بسته قرار دارد. با توجه به تأثیرهای بور بر فلدسپات‌ها و کاهش پایداری آن‌ها، آلومینیم مورد نیاز تورمالین از فلدسپات‌ها تأمین می‌شود. وجود شواهدی مانند تمرکز گرهک‌ها در بخش بالای توده و نبود ارتباط بین رگه‌ها با گرهک‌ها بیانگر شکل‌گیری گرهک‌ها در زیر سولیدوس گرانیت است [۴۸]. اگر جدایی حباب‌ها با

صورت گرفته در آن $\text{Ca}+\text{Mg}=(\text{X-vac+Al})-1$ و $\text{Ca}=\text{X-vac+Na}$ و $\text{Ca}+\text{MgO}=(\text{Al(OH)})-1$

برداشت

با توجه به بررسی‌های انجام شده در مورد تورمالین‌های گرهکی، می‌توان گفت که بور مورد نیاز آن‌ها از سنگ‌های متاپلیتی حاصل شده و سپس در اثر ذوب این سنگ‌ها، مagma‌ی فلزیکی تشکیل شده که در طول تکامل این magma و جدایی آن، یک آبگون حاوی مواد فرار، آهن و بور و ناآمیخته با magma‌ی فلزیک تشکیل می‌شود و همانگونه با magma‌ی فلزیک به سمت بالا حرکت می‌کند. در طول مسیر حرکت، magma‌ی فلزیک متببور شده به حالت خمیری تبدیل می‌شود و حباب‌های حاوی مواد فرار نیز به دلیل اختلاف چگالی به سمت بالای توده حرکت می‌کنند، ولی موفق به خروج از آن نمی‌شوند. در بخش فوقانی توده، نخست در یک محیط بسته در حباب‌ها اولین بلورهای تورمالین متببور می‌شوند که به دلیل Fe زیادشان ترکیب شورل داشته ولی در ادامه با تشکیل این تورمالین‌ها و خروج سیلیس اضافی در اثر گرادیان‌های ایجاد شده در حاشیه‌ی حباب‌ها و محیط اطرافش، و تخریب بیوتیت‌ها در اطراف حباب و تأمین عناصر مورد نیاز برای رشد تورمالین و ورود آن‌ها در اثر همان گرادیان‌های موجود در محل سیستم‌های باز برای تشکیل تورمالین ایجاد شده و تورمالین‌ها با منیزیم بیشتر و ترکیب دراویت ایجاد می‌شود. لذا می‌توان برای تورمالین‌ها یک خاستگاه دوگانه و یا گذر از سیستم magma‌ی به گرماب را فرض کرد. البته یک خاستگاه دیگر برای تأمین Mg مورد نیاز تورمالین‌ها را می‌توان شاره‌های موجود در بخش‌های فوقانی توده و اختلاط آن با حباب‌های حاوی مواد فرار در نظر گرفت (شکل ۸). با توجه به میزان پایین مجموع عناصر نادر خاکی در تورمالین‌می‌توان گفت که شاید تورمالین‌ها تمايل زیادی به تمرکز این عناصر در خود را ندارند. همچنین با توجه به حضور Ca در جایگاه X می‌توان بی‌هنجاری مثبت Eu را به حضور این عنصر در جایگاه X نسبت داد.

مراجع

- [1] Foit F.F., Rosenberg P.E., "Coupled substitutions in the tourmaline group", Contributions to Mineralogy and Petrology 62 (1977) 109-117.

تنوع در رنگ تورمالین می‌تواند به دلیل جدایش در مرحله تأخیری و تغییرات میزان Ti,Ca,Fe وابسته باشد به طوری که تورمالین آبی دارای Ti,Ca,Fe پایین‌تری نسبت به تورمالین قهقهه‌ای دارد. ولی عامل تغییر رنگ در تورمالین می‌تواند به دلایل دیگری مانند فرآیند انتقال بار و حضور عناصر کمیاب و ساختار ناقص بلور باشد [۵۲]. در تورمالین‌های گرهکی اشغال شدگی‌های گسترده و متفاوت جایگاه Y به‌وسیله Fe و Mg نیز یک رابطه‌ی معکوسی بین این دو عنصر مشاهده می‌شود. کمبود Mg را می‌توان به کمیابی این عنصر در گذاره‌ی گرانیتی مراحل پایانی نسبت داد. میزان Fe/Fe+Mg (۵۶-۶۳) بالا در تورمالین گرهکی نشان دهنده‌ی میل بیشتر آن‌ها در جهت ترکیب شورلیت است و این را می‌توان به تکامل زیاد گذاره‌ی باقیمانده سرشار از آهن، بور و طبیعت سرشار از آهن گذاره‌ی مسئول شکل گیری تورمالین نسبت داد. به‌طوری که از (شکل ۷ ب) نتیجه می‌شود از هسته گرهک به‌سمت حاشیه آن، عناصر Ti, Ca و Fe افزایش ولی Al و Mg به‌صورت نوسانی کاهش می‌یابند. منطقه‌بندی نوسانی می‌تواند در اثر تغییر مکرر در تعادل بلور- آبگون به‌علت تغییر ناگهانی در دما، فشار، اشباع از آب و ترکیب آبگون و یا بر اساس رشد نامتعادل بلور ایجاد شود. رشد نامتعادل و سریع تورمالین باعث فرآیند خود کاتالیزوری در تورمالین می‌شود که این فرآیند پتانسیل رفتار نوسانی در طول رشد بلور را افزایش می‌دهد [۵۳]. با توجه به نسبت FeO/FeO+MgO (بین ۰,۸ تا ۰,۶) تورمالین گرهکی، همانگی الگوی REE با سنگ میزان و نیز افزایش جانشین Ca و Mg در حاشیه‌ی تورمالین‌های گرهکی می‌توان برای تورمالین‌ها یک خاستگاه دوگانه و یا گذر از سیستم magma‌ی به گرماب را فرض کرد، به این صورت که در مراحل اولیه به‌دلیل وجود magma‌ی جدا شده سرشار از آهن، ترکیب تورمالین‌ها بیشتر شورل و سیستم حالت بسته دارد اما هنگام جایگیری حباب‌ها در بخش‌های سطحی توده و در اثر ایجاد جریان‌های همرفتی در حد فاصل حباب و سنگ میزان به دلیل اختلاف چگالی، دما، تخریب بیوتیت‌ها در اثر این جریان‌ها و یا در اثر وجود شاره‌های با خاستگاه ناماگما‌ی در بخش فوقانی توده و اختلاط آن‌ها با magma‌ی شاری سرشار از مواد فرار و بور و ایجاد سیستم‌های باز، ترکیب گرهک‌ها به سمت دراویت تمايل دارند. این را نیز با استفاده از نمودارهای جانشینی در بخش ژئوشیمی تورمالین می‌توان دید که بیشتر جانشینی‌های

- [۱] تورمالین های منطقه بروجرد، مجله بلورشناسی و کانی شناسی ایران، شماره ۲ (۱۳۹۱)، ص ۲۹۲-۲۸۱.
- [۲] Karimpour M.H., Stern C.R., "Mineralogical and Chemical Composition of Tourmaline from Najmabad, Gheshlagh, Hired and Maherabad-Khopik, and their relationship with types of mineralization, Eastern Iran", Journal of Crystallography and Mineralogy 2 (2010) 43-54.
- [۳] احمدی بنکدار س.، احمدی ع.، "تربیت تورمالین در پگماتیت های چاه رویی، جنوب غربی نهبندان"، مجله بلورشناسی و کانی شناسی ایران، شماره ۳ (۱۳۹۲)، ص ۵۶۰-۵۴۹.
- [۴] Shewfelt D., Ansdell K., Sheppard S., "The origin of tourmaline nodules in granites; preliminary findings from the Paleoproterozoic Scrubber Granite", Geological Survey of Western Australia Annual Review (2005) 59-63.
- [۵] Rozendaal A., Bruwer L., "Tourmaline nodules indicator of hydrothermal alteration and Sn-Zn-(W) mineralization in the Cape Granite Suite, South Africa", Journal of African Earth Sciences 21 (1995) 141-155.
- [۶] Grantham G.H., Moyes A.B., Hunter D.R., "The age, petrogenesis and emplacement of the Dalmatian Granite, H.U. Sverdrupfjella, Dronning Maud Land, Antarctica", Antarctic Science 3 (1991) 197-204.
- [۷] Jiang S.Y., Yang J.H., Nova'k M., Selway J.B., "Chemical and boron isotopic compositions of tourmaline from the Lavic'ky leucogranite, Czech Republic", Geochemical Journal 37 (2003) 545-556.
- [۸] Buria'nek D., Nova'k M., "Morphological and compositional evolution of tourmaline from nodular granite at Lavic'ky near Velke' Mezir'i'c'i', Moldanubicum, Czech Republic", Journal of the Czech Geological Society 49 (2004) 81-90.
- [۹] Buria'nek D., Nova'k M., "Compositional evolution and substitutions in disseminated and nodular tourmaline from leucocratic granites: examples from the Bohemian Massif, Czech Republic", Lithos 95 (2007) 148-164.
- [۱۰] Sinclair D.W., Richardson J.M., "Quartz-tourmaline orbicules in the Seagull Batholith, Yukon Territory", Canadian Mineralogist 30 (1992) 923-935.
- [۱۱] Samson I.M., Sinclair W.D., "Magmatic hydrothermal fluids and the origin of quartz-tourmaline orbicules in the Seagull Batholith, [۱۲] Henry D.J., Dutrow B.L., "Metamorphic tourmaline and its petrologic applications", In: Grew Es, Anovitz LM (eds) Boron. Mineralogy, Petrology and Geochemistry, The Mineralogical Society of America, Washington, DC, Review, Mineralogy 33(1996) 503-557.
- [۱۳] 4Beaty D.W., Hahn G.A., Threlkeld W.E., "Field, isotopic, and chemical studies of tourmaline-bearing rocks in the Belt-Purcell Supergroup: genetic constraints and exploration significance for Sullivan type ore deposits", The Canadian Mineralogist Earth Science 25(1988) 392-402.
- [۱۴] Pirajno F., Smithies R.H., "The FeO/(FeO+MgO) ratio of tourmaline: A useful indicator of spatial variations in granite-related hydrothermal mineral deposits", Journal of Geochemical Exploration 42 (1992) 371-381.
- [۱۵] Dini A., Corretti A., Innocenti F., Rocchi S., Westerman D. S., "Sooty sweat stains or tourmaline spots? The Argonauts at Elba Island (Tuscany) and the spread of Greek trading in the Mediterranean Sea", In Piccardi, L., Masse, W. B. (eds.) Myth and Geology, Geological Society, London, Special Publications 273(2007) 227-243.
- [۱۶] Balen D., Broska I., "Tourmaline nodules: products of devolatilization within, the final evolutionary stage of granitic melt?", Geological Society, London, Special Publications 350 (2011) 53-68.
- [۱۷] منصوری اصفهانی م.، خلیلی م.، "کانی شناسی و شیمی-کانی تورمالین و گارنت در گرانیتویید روسنایی ملاطالب (شمال الیگودرز) شمال غربی اصفهان"، مجله بلورشناسی و کانی شناسی ایران، شماره ۱ (۱۳۹۳)، ص ۱۴۸-۱۳۹.
- [۱۸] طهماسبی ز.، احمدی خلجی ا.، رجاییه م.، "تورمالین زائی در توده گرانیتوئیدی آستانه (جنوب غرب اراک)", مجله بلورشناسی و کانی شناسی ایران، شماره ۳ (۱۳۸۸)، ص ۳۸۰-۳۶۹.
- [۱۹] اسماعیلی د.، محمدی ح.، حق نظر م.، مقایسه ترکیب شیمیایی تورمالین در رگه های کوارتز-تورمالین قلعه و تنگستان دار مناطق شاهکوه (شرق ایران) و نظام آباد (غرب ایران)، مجله بلورشناسی و کانی شناسی ایران، شماره ۳ (۱۳۸۸)، ص ۳۵۶-۳۴۳.
- [۲۰] میرسپهوند ف.، طهماسبی ز.، شاهرخی س.، احمدی خلجی ا.، خلیلی م.، "ژئوشیمی و تعیین خاستگاه

- های پگماتیت های جنوب مشهد" مجله علوم زمین، جلد ۱، شماره ۳ (۱۳۷۱): ۲۷-۳۵.
- [۳۲] ولی زاده م.و، کریم پور م.ح، " منشأ و موقعیت تکتونیکی گرانیت های جنوب مشهد" مجله علوم دانشگاه تهران، جلد ۲۱، شماره ۱ (۱۳۷۴): ۷۱-۸۲.
- [۳۳] Boynton W.V., "Geochemistry of the rare earth elements: meteorite studies", In: Henderson, P. (ed) Rare Earth Element Geochemistry, Elsevier, Amsterdam (1984) 63–114.
- [۳۴] Jiang S.Y., Palmer M.R., Li Y.H., Xue C.J., "Chemical compositions of tourmaline in the Yindongzi-Tongmugou Pb-Zn deposits, Qinling, China: implications for hydrothermal ore-forming processes", Mineralium Deposita 30 (1995) 225-234.
- [۳۵] Vincent J., "Preliminary experimental data on trace-element partitioning between tourmaline and silicate melt", The Canadian Mineralogist 49 (2011) 153-163.
- [۳۶] Flynn R.T., Burnham C.W., "An experimental determination of rare earth partition coefficients between chloride containing vapor phase and silicate melts", Geochimica et Cosmochimica Acta 42 (1978) 685-701.
- [۳۷] London D., Manning D.A.C., "Chemical variation and significance of tourmaline from SW England", Economic Geology 90 (1995) 495-519.
- [۳۸] Bernard F., Moutou P., Pichavant M., "Phase relations of tourmaline leucogranites and the significance of tourmaline in silicic magmas", The Journal of Geology 93(1985) 271-291.
- [۳۹] Pichavant M., Manning D.A.C., "Petrogenesis of tourmaline granites and topaz granites: the contribution of experimental data", Physics of the Earth and Planetary Interiors 35 (1984) 31–50.
- [۴۰] Abu El-Enein M.M., Okruch M., "The texture and composition of tourmaline in metasediments of the Egypt, Implication for the tectono-metamorphic evolution of the Pan-African basement", Mineralogical Magazine 71 (2007) 17-40.
- [۴۱] Wilke M., Nabelek P.I., Glascock M.D., "B and Li in Proterozoic metapelites from the Black Hills, U.S.A.: Implications for the origin of leucogranitic magmas", American Mineralogist 87(2002) 491-500.
- [۴۲] Veksler I.V., "Liquid immiscibility and its role at the magmatic hydrothermal transition: a summary of experimental studies", Chemical Geology 210 (2004) 7-31.
- [۴۳] Veksler I.V., Thomas R., "An experimental study of B-, P- and Frich synthetic granite

Yukon Territory", Canadian Mineralogist 30 (1992) 937-954.

[۲۱] Balen D., "Tourmaline nodules occurrence in Moslavačka Gora (Croatia) granite: a snapshot of magmatic processes", In: 8th Workshop on Alpine Geological Studies Abstract volume (2007) 3-3.

[۲۲] Nemec D., "Genesis of tourmaline spots in leucocratic granites", Neues Jahrbuch Mineralogie Monatshefte 7 (1975) 308-317.

[۲۳] Dini A., Innocenti F., Rocchi S., Tonarini S., Westerman D.S., "The magmatic evolution of the late Miocene laccolith-pluton-dyke granitic complex of Elba Island, Italy", Geological Magazine 139 (2002) 257-279.

[۲۴] Trumbull R.B., Krienitz M.S., Gottesmann B., Wiedenbeck M., "Chemical and boron-isotope variations in tourmalines from an S-type granite and its source rocks: the Erongo granite and tourmalinites in the Damara Belt, Namibia", Contributions to Mineralogy and Petrology 155 (2008) 1-18.

[۲۵] Le Fort P., "Enclaves of the Miocene Himalayan leucogranites", In: Enclaves and granite petrology. Didier and Barbain (eds.) (1991) 35-47.

[۲۶] Perugini D., Poli G., "Tourmaline nodules from Capo Bianco aplite (Elba Island, Italy): an example of diffusion limited aggregation growth in a magmatic system", Contributions to Mineralogy and Petrology 153 (2007) 493-508.

[۲۷] Taheri J., Ghaemi F., "Geological sheet map of Mashhad, 1:100000 scale, Geological Survey of Iran, Tehran" (1994).

[۲۸] کریم پور م.ح، فارمر ل، استرن ج، "ژئوشیمی رادیو ایزوتوپ ها Sm-Nd و Rb-Sr و سن سنجی زیرکن U-Pb و تعیین منشأ لوکوگرانیت های خواجه مراد، مشهد، ایران"، فصلنامه علوم زمین، شماره ۸۰ (۱۳۹۰) ص ۱۷۱-۱۸۲.

[۲۹] Alberti A., Moazez Z., "Plutoinc and metamorphic rocks of the mashhad area (northeastern Iran, Khorasan)", Bulletin Society Geological Italy 93 (1974) 1157-1196.

[۳۰] میرنژاد ح، "پترولولوژی و ژئوشیمی گرانیت ها و پگماتیت های منطقه مشهد"، پایان نامه کارشناسی ارشد، دانشکده علوم، دانشگاه تهران، (۱۳۷۰)، ۲۵۰ ص.

[۳۱] ولی زاده م.و، میرنژاد ح، "بررسی ژئوشیمیایی پتاسیم و برخی از عناصر کمیاب در فلدوپات های پتاسیک و مسکوویت

- [49] London D., "Pegmatites" The Canadian Mineralogist, Special Publication 10 (2008).
- [50] Casey W.H., Bunker B., "Leaching of mineral and glass surface geochemistry", Mineralogical Society of America, Washington 23 (1990) 397-426.
- [51] Goerne G., Franz G., Heinrich W., "Synthesis of tourmaline solid solutions in the system Na₂O-MgO-Al₂O₃-SiO₂-B₂O₃-H₂O-HCl and the distribution of Na between tourmaline and fluid at 300 to 700°C and 200 MPa", Contributions to Mineralogy and Petrology 141 (2001) 160-173.
- [52] Faye G.H., Manning P.G., Gosselin J.R., Tremblay R.G., "The optical absorption spectra of tourmaline: importance of charge-transfer processes", The Canadian Mineralogist 12 (1974) 370-380.
- [53] Ortoleva P., Merino E., Chadam J., Moore C., "Geochemical self-organization I: Reaction-transport Feed backs and modeling approach", American journal of science 287 (1987) 979-1007.
- pegmatite at 0.1 and 0.2 GPa", Contributions to Mineralogy and Petrology 143(2002) 673–683.
- [44] Shinohara H., Hedenquist J.W., "Constraints on magma degassing beneath the Far Southeast porphyry Cu-Au deposit, Philippines", Journal of Petrology 38 (1997) 1741–1752.
- [45] Dingwell D.B., "Granitic Melt Viscosities", Geological Society, London, Special Publications 168 (1999) 27-38.
- [46] Thomas R., Forster H.J., Rickers K., Webster J.D., "Formation of extremely F-rich hydrous melt fractions and hydrothermal fluids during differentiation of highly evolve tin-granite magmas: a melt/fluid-inclusion study", Contributions to Mineralogy and Petrology 148 (2005) 582–601.
- [47] Kubis M., Broska I., "The role of boron and flourine in evolved granitic rock systems (on the example of the Hnilec area, Western Carpathians)", Geologica Carpathica 56 (2005) 193–204.
- [48] Burianek D., Novak M., "Morphology and compositional evolution of tourmaline from nodular granite at Lavicky near VelkMezirci, Moldanubicum, Czech Republic", Journal of Czech Geological Society 49 (2004) 81-90.